

## SPETTROSCOPIA CON IL RETICOLO DI DIFFRAZIONE (§ 14.7)<sup>(\*)</sup>

Tutte le sostanze, opportunamente eccitate, diventano sorgenti di radiazioni luminose. Lo spettro di emissione dipende dallo stato di aggregazione. I gas allo stato atomico emettono radiazione luminosa composta da una serie discreta di lunghezze d'onda (*righe*), che sono caratteristiche della struttura atomica dell'elemento.

Uno spettroscopio che impiega un reticolo di diffrazione serve ad analizzare queste lunghezze d'onda, ovvero a misurare lo *spettro di emissione* della sostanza.

### RETICOLO DI DIFFRAZIONE

Un reticolo di diffrazione (§14.5)<sup>(\*)</sup> è un sistema costituito da un numero elevato  $N$  di fenditure molto lunghe, di larghezza  $a$ , equispaziate della distanza  $d$ , che prende il nome di *passo del reticolo*. Se illuminiamo (fig.14.24) il reticolo  $R$  con una sorgente luminosa, quello che osserviamo su uno schermo posto nel piano focale di una lente  $L$  è l'interferenza prodotta dalle  $N$  sorgenti, costituite dalle singole fenditure illuminate. Per una lunghezza d'onda  $\lambda$  (corrispondente ad un certo colore) lo spettro rivelato è mostrato in figura 14.29, che riportiamo. In corrispondenza alle direzioni di osservazione  $\theta_m$ , date dalla:

$$\sin \theta_m = (\lambda/d) m \quad (m = 0, \pm 1, \pm 2, \pm 3, \dots) \quad (1)$$

si osservano delle righe del colore caratteristico della  $\lambda$ . Le righe corrispondenti a  $m = \pm 1$ ,  $\sin \theta_1 = \pm (\lambda/d)$  (nelle due direzioni simmetriche rispetto alla riga centrale  $m = 0$ ,  $\theta = 0$ ) si chiamano del *primo ordine*, quelle successive di ordine superiore ( $m = \pm 2, \pm 3, \dots$ ).

Se nella sorgente sono presenti più lunghezze d'onda, per ognuna di esse, si avrà una serie di righe date ancora dalla (1). Al centro,  $\theta = 0$ , la (1) è verificata per qualsiasi lunghezza d'onda, per cui esse si presenteranno sovrapposte. All'osservazione nella direzione di emissione ( $\theta = 0$ ) la sorgente apparirà del colore che risulta dalla sovrapposizione delle lunghezze d'onda che la costituiscono. All'aumentare dell'ordine l'intensità delle righe diminuisce (fig.14.29) per effetto della diffrazione che avviene a ciascuna delle fenditure (§14.2), per cui oltre un certo ordine le righe corrispondenti non risultano più osservabili.

### PROCEDURA PER LA MISURA DEL PASSO DI UN RETICOLO.

Lo spettroscopio a reticolo di diffrazione è rappresentato schematicamente in figura 1. La luce prodotta da una sorgente di Cd viene collimata su un reticolo di diffrazione; la luce diffusa dal reticolo ai vari ordini viene osservata attraverso un telescopio montato su una piattaforma rotante, che permette di misurare l'angolo  $\theta$  di osservazione per mezzo di due goniometri, montati sulla piattaforma stessa.

(\*) Si fa riferimento al Capitolo 14 del testo consigliato, (P. Mazzoldi, M. Nigro, C. Voci, Elementi di Fisica, EdiSeS, Napoli) per le formule e le figure, che vengono per comodità riportate.

La lampada di Cadmio, di cui lo spettroscopio è corredato, è costituita da varie lunghezze d'onda d'intensità diversa, e, tra esse, quelle che hanno un'intensità tale da essere osservate a più ordini ( $m = \pm 1, \pm 2, \pm 3, \dots$ ) hanno lunghezza d'onda ben note:

blu	$\lambda_b = 0.4678 \mu\text{m},$	azzurro	$\lambda_a = 0.4800 \mu\text{m},$
verde	$\lambda_v = 0.5086 \mu\text{m},$	rosso	$\lambda_r = 0.6438 \mu\text{m},$

(2)

• Si sceglie di utilizzare lo spettroscopio per la **misura del passo  $d$  del reticolo di diffrazione.**

• Inizialmente, escludendo dal campo di osservazione il reticolo, montato esso pure su un supporto, si allinea il telescopio con la luce emessa direttamente dalla sorgente e si verifica che la luce della sorgente sia ben collimata nel campo di osservazione del telescopio, messo a fuoco.

• Si inserisce il reticolo, si sceglie la riga di un certo colore ( $\lambda_v$ ), e, ruotando la piattaforma, ci si pone con il telescopio in direzione tale da osservare la riga del primo ordine a destra ( $m = + 1$ ) rispetto alla riga centrale ( $\theta = 0$ ); si esegue la misura dei due angoli  $A_{dx}$  e  $B_{dx}$  utilizzando i due goniometri  $A$  e  $B$ , diametralmente opposti, di cui la piattaforma è corredata. In ciascun goniometro un nonio divide il grado in 30 parti, per cui è possibile apprezzare una differenza di  $\Delta\theta = 2'$  equivalenti a  $\Delta\theta \approx 6 \cdot 10^{-4}$  rad. Ci si pone nella direzione corrispondente al massimo del primo ordine a sinistra ( $m = - 1$ ) rispetto alla riga centrale ( $\theta = 0$ ) e si esegue la misura dei due angoli  $A_{sx}$  e  $B_{sx}$  sui due goniometri diametralmente opposti. Da questi dati si ricavano due misure indipendenti dell'angolo del primo ordine  $\theta_1$ :

$$\theta_A = |A_{dx} - A_{sx}|/2, \quad \theta_B = |B_{dx} - B_{sx}|/2, \quad (3)$$

eseguite rispettivamente con il goniometro  $A$  e  $B$ . Il valore medio:

$$\theta_1 = (\theta_A + \theta_B)/2 \quad (4)$$

costituisce la misura di  $\theta_1$  relativa alla due righe del primo ordine ( $m = \pm 1$ ), della lunghezza d'onda  $\lambda_v$  in esame.

• Si procede in questo modo con le righe degli altri ordini superiori ( $m = \pm 2, \pm 3, \dots$ ).

• Alla fine per la lunghezza d'onda  $\lambda_v$ , si saranno ottenuti dalla (1):

$$d_m = m\lambda_v / \sin\theta_m \quad (m = \pm 1, \pm 2, \pm 3, \dots) \quad (5)$$

diversi valori di  $d$  che vengono riportati in una tabella. L'errore  $\Delta d_m$  su ciascun valore di  $d$  è stato calcolato dalla:

$$\Delta d_m = [\partial (m\lambda_v / \sin\theta_m) \partial \theta] \Delta\theta = d_m \Delta\theta / \tan\theta_m = 6 \cdot 10^{-4} d_m / \tan\theta_m \quad (6)$$

in cui  $\Delta\theta = 6 \cdot 10^{-4}$  rad ( $\Delta\theta = 2'$ ) è la *sensibilità dello strumento*,  $d_m$  e  $\Delta d_m$  in  $\mu\text{m}$ , ( $1\mu\text{m} = 10^{-6}$  m). (Osserviamo che in tabella gli angoli sono espressi in centesimi di grado).

- Si può ripetere il procedimento per le altre tre lunghezze d'onda, ottenendo alla fine, per ogni  $\lambda$  una tabella analoga, (che è stata eseguita per 5 ordini), ottenendo più valori del passo  $d$  del reticolo.

$m$	$\theta_m$	$\text{sen } \theta_m$	$d_m$ ( $\mu\text{m}$ )	$\Delta d_m$ ( $\mu\text{m}$ )	$1/\Delta d_m^2$ ( $\mu\text{m}^{-2}$ )
1	2.37	0.0413	12.315	0.178	31.6
2	4.67	0.0814	12.496	0.092	118.1
3	6.80	0.1184	12.887	0.065	236.7
4	9.23	0.1604	12.684	0.046	472.6
5	11.62	0.2014	12.627	0.037	730.5

### Valutazione del valore medio del passo del reticolo<sup>(\*)</sup>

Dalla tabella e dalla (6) si osserva che i valori  $d_m$  non sono noti con la stessa precisione (l'errore  $\Delta d_m$  diminuisce con l'ordine  $m$ ), per cui, volendo calcolare un valore medio, i valori noti con maggiore precisione devono *pesare* maggiormente nel risultato. Il criterio usato assegna a ciascun valore  $d_m$  un peso  $p_m$  inversamente proporzionale  $(\Delta d_m)^2$  ovvero:

$$\langle d \rangle = \frac{\sum_m \frac{d_m}{\Delta d_m^2}}{\sum_m \frac{1}{\Delta d_m^2}} \quad (72)$$

Eseguendo i calcoli si ottiene:

$$\langle d \rangle = 12.66 \mu\text{m}$$

Come valutazione dell'errore con cui si misura  $\langle d \rangle$  si usa la relazione:

$$\Delta \langle d \rangle = \sqrt{\frac{1}{\sum_m \frac{1}{\Delta d_m^2}}} \approx 0.03 \quad (73)$$

per cui il risultato della misura è:

$$\langle d \rangle = (12.66 \pm 0.03) \mu\text{m}$$

Il passo del reticolo resta così misurato con una errore  $\Delta \langle d \rangle / \langle d \rangle \approx 0.25\%$  .

Il reticolo ha dunque una densità di fenditure  $n = 1/d \approx 790$  fenditure/cm.

---

(\*) Per le formule della propagazione degli errori si rimanda a <http://www.fisica.unipd.it/didattica/ingegneria> *Elementi di teoria degli errori di misura*, § 7: la numerazione delle formule è quella della suddetta dispensa.

- Si consiglia di eseguire la procedura descritta per i primi 3 ordini ( $m = \pm 1, \pm 2, \pm 3$ ) di ciascuna delle 4 lunghezze d'onda (colori), ottenendo dodici misure del passo  $d$  del reticolo. Da esse si ottiene il valore medio  $\langle d \rangle$  con l'errore  $\Delta \langle d \rangle$ .

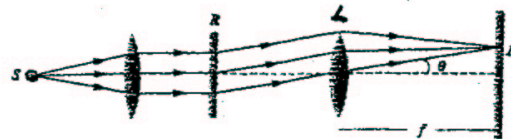


Figura 14.24

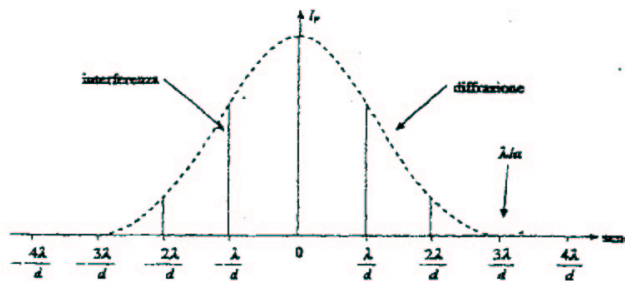


Figura 14.29

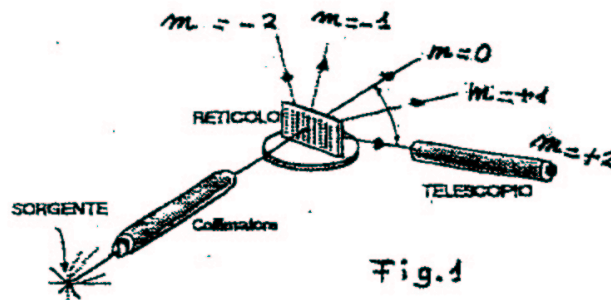


Fig.1

## Laurea in Ingegneria

Cognome \_\_\_\_\_ Nome \_\_\_\_\_ Matricola \_\_\_\_\_

Cognome \_\_\_\_\_ Nome \_\_\_\_\_ Matricola \_\_\_\_\_

Cognome \_\_\_\_\_ Nome \_\_\_\_\_ Matricola \_\_\_\_\_

### Dati Sperimentali

	$m$	$A_{dx}$	$B_{dx}$	$A_{sx}$	$B_{sx}$	$\theta_m$
BLU 0,4678 $\mu\text{m}$	1					
	2					
	3					
AZZURRO 0,4800 $\mu\text{m}$	1					
	2					
	3					
VERDE 0,5086 $\mu\text{m}$	1					
	2					
	3					
ROSSO 0,6438 $\mu\text{m}$	1					
	2					
	3					

	$m$	$\theta_m$	$\text{sen}\theta_m$	$d_m(\mu\text{m})$	$\Delta d_m(\mu\text{m})$	$1/\Delta d_m^2(\mu\text{m}^{-2})$
BLU 0,4678 $\mu\text{m}$	1					
	2					
	3					
AZZURRO 0,4800 $\mu\text{m}$	1					
	2					
	3					
VERDE 0,5086 $\mu\text{m}$	1					
	2					
	3					
ROSSO 0,6438 $\mu\text{m}$	1					
	2					
	3					

$$\langle d \rangle = (\dots\dots\dots \pm \dots\dots\dots) \mu\text{m}$$

